

УДК 521.61:550.388.2

**ИССЛЕДОВАНИЯ В ИОНОСФЕРЕ ПРИ ПОМОЩИ
СПУТНИКА «КОСМОС-378»**

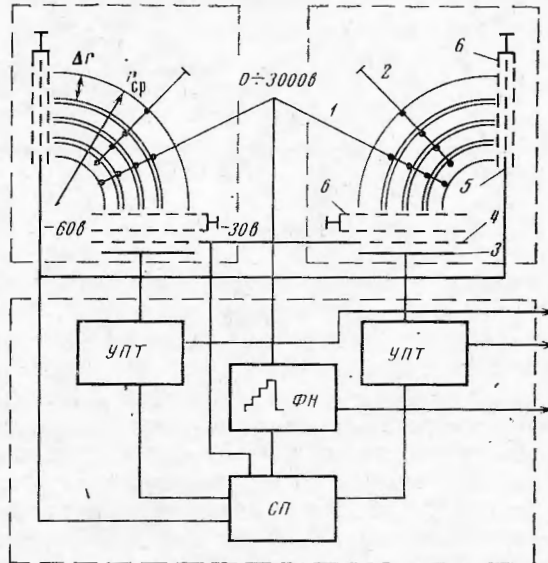
**3. ИЗУЧЕНИЕ ПОТОКОВ ЭЛЕКТРОНОВ В ДИАПАЗОНЕ ЭНЕРГИЙ
0,5–12 кэв**

A. П. Ремизов, М. З. Хохлов

Описаны электростатические анализаторы для регистрации электронов с энергиями 0,5–12 кэв. Рассмотрены их характеристики и учет фона. Приведены примеры полученных данных.

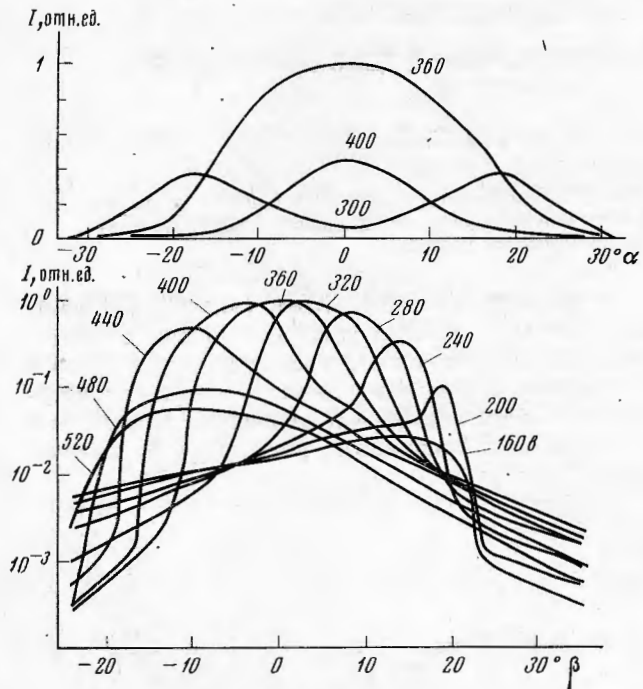
Описание аппаратуры. На спутнике «Космос-378» (апогей 1740 км, перигей 240 км, наклонение орбиты 74°) было установлено два идентичных электростатических анализатора заряженных частиц для регистрации электронов с энергиями 0,5–12 кэв. Цель эксперимента — изучение потоков электронов в высоколатитной магнитосфере и ионосфере и сопоставление получаемых данных с характеристиками ионосферной плазмы и с геомагнитной активностью [1–3].

Блок-схема прибора показана на фиг. 1. Нормали к входным окнам анализаторов были ориентированы в противоположных направлениях. Каждый из анализаторов имел многощелевую цилиндрическую отклоняющую систему, аналогичную описанной в [4], что увеличивало геометрический фактор прибора без потери разрешающей способности при значительном ослаблении фона от ультрафиолетового излучения Солнца. Отклоняющая система изготавливается из диэлектрика, металлизировалась и покрывалась черным никелем. На внутренние соединенные между собой поверхности отклоняющих пластин 1 подавалось положительное напряжение V , а внешние поверхности 2 соединялись с корпусом прибора. Идентичность характеристик отдельных ячеек-анализаторов обеспечивалась постоянством отношения зазора отдельной ячейки Δr к ее среднему радиусу r_{cp} . В описываемом приборе $\Delta r/r_{cp} \approx 0,14$. Для уменьшения влияния ультрафиолетового излучения Солнца поверхности отклоняющих

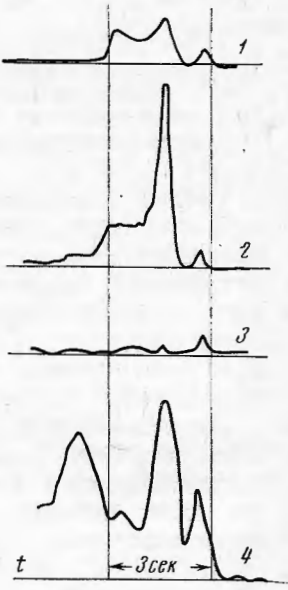


Фиг. 1

пластин были сделаны рифлеными. Вблизи коллектора 3 размещена сетка 4 под отрицательным потенциалом -30 в, уменьшающая величину фототока в цепи коллектора и тока вторичной эмиссии. Сетка 5 под отрицательным потенциалом -60 в, препятствуя проникновению электронной компоненты плазмы в пространстве между отклоняющими пластинами, защищает выпрямитель прибора от перегрузок. Экранные сетки 6 препятствуют проникновению электрических полей, создаваемых отклоняющими пластинами, на коллектор 3 и во внешнее пространство. Электроны,



Фиг. 2



Фиг. 3

прошедшие через анализатор, попадают на коллекторы 3, присоединенные к усилителям постоянного тока УПТ. Последние размещены в блоке электроники вместе со стабилизированным преобразователем СП и формирователем напряжения на отклоняющих пластинах анализаторов ФН. Входной каскад усилителя собран по балансной схеме на электрометрических пентодах М-10, сеточные токи которых не превышают $(2 \div 5) \cdot 10^{-15}$ а. Диапазон измерений $10^{-13} \div 6 \cdot 10^{-12}$ а; шкала линейная. Суммарная емкость коллектора относительно корпуса и кабеля от коллектора до УПТ достигала 150 pF . Для уменьшения постоянной времени измерений (входное сопротивление УПТ 10^3 Гом) УПТ имел значительный коэффициент усиления и охватывался 100%-ной обратной связью. Длительность переходного процесса по уровню 0,9 не превышает 0,2 сек., что соответствует постоянной времени 0,06 сек. Длительность переходного процесса в режиме запоминания 0,3 сек. Отметим, что при входных токах усилителя, больших $6 \cdot 10^{-12}$ а, времена переходных процессов увеличиваются и усилитель длительное время после уменьшения входного тока остается запкаленным (например, после сигнала $6 \cdot 10^{-11}$ а до 50–100 сек.).

Электроны регистрировались в четырех энергетических интервалах со средними энергиями 1,0; 2,2; 4,2 и 8,5 кэВ. Время установления соответств-

ствующих отклоняющих ходе к большим напряжениям (по уровню 0,1) внешними импульсами мости от выбранного principio спектра составляло

Характеристики анализа камере путем электронов различных с большее расстояние, та $\sim 1^\circ$. Плотность и однолюбого цилиндра ФН фокусировать в производстве по заданному закону. А обеспечивающем его позволяло определять Абсолютная точность усилителя и направле

На фиг. 2 представле различных напряжений (у кривых) и $E_e = 1$ кэВ иной поверхности откло ворот на угол β) и первый угол α). Полученные энчата значений геометрического. Как показывает фигуры. Ниже приведены

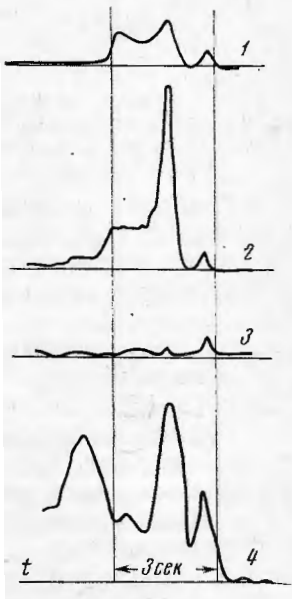
Выигрыши по напряжению — Угловое разрешение по β и Энергетическое разрешение. То же, для изотропного потока Энергетический фактоскоп. Чувствительность к напряжению, к изотропному потоку. Динамический диапазон измерений. Постоянная времени усилителя. Время переходного процесса интервалов, сек.

Дрейф выходного напряжения в интервале от -10 до $+40^\circ$ и напряжение на отклоняющих

Учет фона и дрейфа позволил выявить влияние на усилители при быстрых изменениях фона при пересечении

Для контроля дрейфа дополнительный 3-секундный отклоняющих пластинах, только до 25 в, так что он на регистрацию элементов могла проникать в анализатор. Учитывалось это и было учтено в тех областях, где изменились. Из-за замедления на сетке 5 прибор в градуировки, так что ин

ра 3 размещена сетьюшающая величину и. Сетка 5 под отрицанию электронной ющими пластинами, пленные сетки 6 предаваемых отклоняю транство. Электроны,



Фиг. 3

ы 3, присоединенные размещены в блоке формателем СП и формирователями ФН на электрометрическую (2÷5) · 10⁻¹⁵ а. а. Суммарная емкость коллектора до УПТ при измерений (входной коэффициент длительность перехода, что соответствует этому процесса в различных токах усиливается одного тока остается 50–100 сек.). Временных интервалах со становления соответ-

ствующих отклоняющих напряжений не превышало 0,08 сек. при переходе к большим напряжениям (по уровню 0,9) и 0,2 сек. при спаде напряжения (по уровню 0,1). Формирователь напряжения ФН синхронизован внешними импульсами с частотой 1 или 1/3 гц. Таким образом в зависимости от выбранного по команде с Земли режима работы время регистрации спектра составляло 4 или 12 сек.

Характеристики анализаторов определялись экспериментально в вакуумной камере путем их облучения широкими однородными пучками электронов различных энергий. Электронная пушка была отнесена на большее расстояние, так что расходимость пучка электронов не превышала ~1°. Плотность и однородность пучка контролировались с помощью небольшого цилиндра Фарадея. Электронный пучок можно было также фокусировать в произвольной точке входного окна прибора и перемещать по заданному закону. Анализатор размещался на поворотном устройстве, обеспечивающем его повороты вокруг двух перпендикулярных осей, что позволяло определять пропускание анализатора по любому направлению. Абсолютная точность установки угла между нормалью к входному окну анализатора и направлением потока электронов составляла ~1,5°.

На фиг. 2 представлены серии угловых характеристик анализатора для различных напряжений на отклоняющих пластинах (указаны цифрами у кривых) и $E_e = 1 \text{ кэВ}$ при вращении анализатора вокруг оси, параллельной поверхности отклоняющих пластин в плоскости входного окна (поворот на угол β) и перпендикулярной им в той же плоскости (поворот на угол α). Полученные экспериментальные данные использованы для расчета значений геометрического и энергогеометрического факторов прибора. Как показывает фиг. 2, характеристики прибора несколько асимметричны. Ниже приведены основные характеристики прибора:

Выигрыши по напряжению $-E/e \text{ В}$	2,8
Угловое разрешение по β и α (уровень 0,1; $E = E_{cp}$)	18°, 43°
Энергетическое разрешение для направленного потока	±0,2
То же, для изотропного потока $\Delta E/E_{cp}$ (уровень 0,1)	±0,5
Энергогеометрический фактор, $\text{см}^2\text{стэр}\cdot\text{кэВ}$	$1,0/E_{cp} (\text{кэВ})$
Чувствительность к направленному потоку, $\text{см}^{-2}\text{сек}^{-1}\text{кэВ}^{-1}$	$5 \cdot 10^4 / E (\text{кэВ})$
То же, к изотропному потоку, $\text{см}^2\text{сек}^{-1}\text{кэВ}^{-1}\text{стэр}^{-1}$	$6 \cdot 10^5 / E (\text{кэВ})$
Динамический диапазон измерений	60
Постоянная времени усилителей, сек.	0,06
Время переходного процесса переключения энергетических интервалов, сек.	0,08–0,2

Дрейф выходного напряжения каждого из УПТ в температурном интервале от -10 до $+40^\circ$ в течение 5 час. не превышал $\pm 0,1 \text{ в}$, а дрейф напряжения на отклоняющих пластинах не более $\pm 2\%$.

Учет фона и дрейфа нуля усилителя. Анализ полученных данных позволил выявить влияние ультрафиолетового излучения Солнца, паводок на усилители при быстрых изменениях потенциала спутника, а также наличие фона при пересечении радиационных поясов.

Для контроля дрейфа УПТ и учета фона предусмотрен специальный дополнительный 3-секундный интервал с незначительным потенциалом на отклоняющих пластинах. Практически этот потенциал удалось снизить только до 25 в, так что анализатор в этом интервале оказался настроенным на регистрацию электронов с энергиями ~ 30 – 100 эв, часть которых могла проникать в анализатор через сетку 5, что в ряде случаев затрудняло учет фона в тех областях, где такие электроны действительно регистрировались. Из-за заметного рассеяния этих малоэнергичных электронов на сетке 5 прибор в этом диапазоне энергий требует дополнительной градуировки, так что интерпретация данных в этом диапазоне пока за-

трудна. Для проблемы учета фона существенно, что начальная часть рассматриваемого интервала длительностью около 0,8 сек. свободна от регистрации малоэнергичных электронов, так как в течение этого времени происходит спад напряжения на отклоняющих пластинах от 3000 до 25 в. Электроны больших энергий регистрируются здесь с меньшей эффективностью, чем в основных энергетических интервалах, так как время спада и время переходного процесса в усилителе сравнимы. В ряде случаев это позволяет определять величину фоновых токов усилителя. Характер записей токов в рассматриваемом и соседних с ним интервалах на различных участках орбиты спутника показан на фиг. 3. Вертикальные линии разделяют энергетические интервалы. В центре — калибровочный интервал, справа — интервал $E_{cr}=8,5$ кэв, слева — $E_{cr}=1,0$ кэв (время направлено справа налево). Первая запись относится к области вблизи экватора, где электроны обычно не регистрируются. Как видно, уровень отсчета на начальном участке рассматриваемого интервала такой же, как и в основных интервалах. Небольшой всплеск в начале интервала вызван электрической наводкой при переключении отклоняющего напряжения. Вторая запись аналогична первой. Она получена в полярной шапке в ночное время. Спутник находился в тени Земли. Как и в первом случае, здесь отсутствуют электроны в основных интервалах (0,5—12 кэв), но зарегистрированы интенсивные потоки электронов малых энергий $\sim 0,1$ кэв. Третья запись — пример отсутствия таких электронов. Наконец, на последней записи, полученной в авроральной зоне, наблюдаются как малоэнергичные электроны, так и электроны больших энергий (последние также и во время обратного хода (спада) напряжения).

Фон при прохождении радиационных поясов появлялся в виде отрицательного тока в цепи коллектора, медленно меняющегося во времени и не зависящего от напряжения на отклоняющих пластинах. Максимальные значения фона несколько смещены в сторону высоких широт относительно максимума интенсивности электронов с $E_e \geq 40$ кэв [5]. Появление фона вызвано как прямым воздействием проникающей радиации (защита коллекторного узла $\sim 0,3$ г/см²), так, по-видимому, и рассеянием заряженных частиц в отклоняющей системе анализатора.

Влияние ультрафиолетового излучения Солнца сказывалось в появлении положительных токов в цепи коллектора, увеличивающихся при росте освещенности входного окна анализатора. Ток достигал $\sim 3 \cdot 10^{-12}$ а, что соответствует ослаблению воздействия ультрафиолетового излучения на коллектор в $\sim 3 \cdot 10^4$ раз. Предполетные испытания показали, что такое ослабление составляло не менее 10^4 раз, а в сходной конструкции [4] было достигнуто ослабление $\sim 10^6$ раз. Измерения с более интенсивным источником ультрафиолетового излучения подтвердили как величину, так и направление остаточного фототока, наблюдавшегося на спутнике. По-видимому, имел место значительный перенос фотоэлектронов с коллектора на корпус прибора, аналогично тому как это наблюдалось в [6]. Как видно, два рассмотренных источника фона частично компенсируют друг друга, вызывая токи противоположного направления в цепи коллектора.

Наводки на усилитель были обнаружены в виде периодически повторяющихся всплесков, появлявшихся в моменты обратного хода полообразных напряжений, подаваемых на зонды Ленгмюра каждые 20 сек. [1]. Поскольку в наземных условиях указанные наводки не появлялись, они связаны с наличием вокруг спутника ионосферной плазмы (наводки появлялись и на свету и в тени Земли). Амплитуда всплесков и их длительность сложным образом зависят от высоты, окружающих условий, ориентации спутника относительно направления на Солнце. Наводки магнитного поля и др. В среднем наводки максимальны, а длительность

всплесков минимальна в течении плазмы. На высотах либо не наблюдаются. Чем они выше, тем выше регистрация интенсивности

$N_e \times 10^{12} \text{ см}^{-2} \text{ сек}^{-1} \text{ стер}^{-1} \text{ кэв}^{-1}$

55

в частности заметная, для лакации всплесков, горячие стройки потенциала спутников существенно быстрее. в [7].

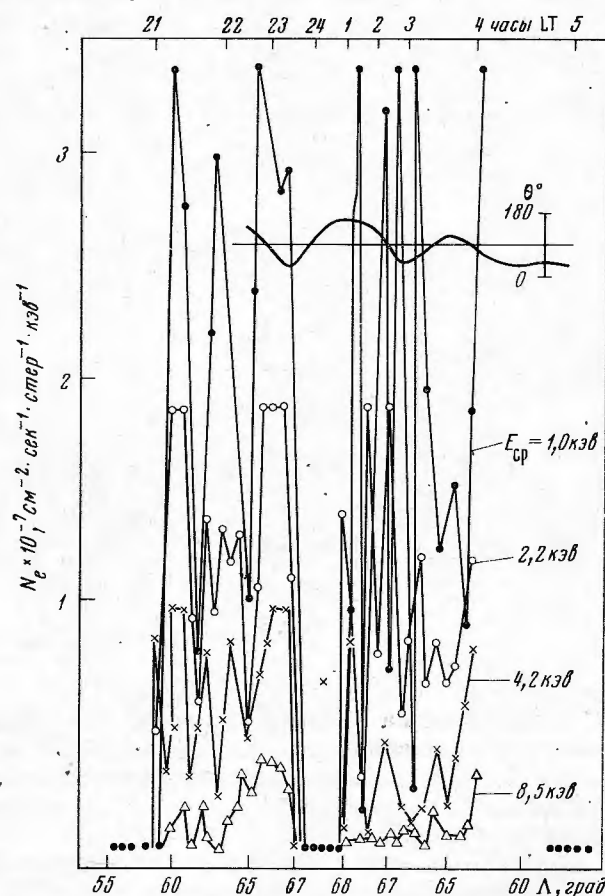
Некоторые особенности режима запоминания обесцвечивания зимой в северном полушарии и в южном полушарии в зависимости от наблюдений как в ночное время, достигались инвариантными широтных витков с наибольшими двух характерных

, что начальная часть 0,8 сек. свободна от регионов этого времени вспышек от 3000 до 25 с. с меньшей эффективностью, так как время спада вспышки. В ряде случаев это длительность. Характер за- вспышек в интервалах на различ-
3. Вертикальные линии калибровочный интер-
1,0 кэв (время направ-
ности вблизи экватора,
дно, уровень отсчета на
как же, как и в основ-
периода вызван электри-
ческим напряжением. Вторая
шапка в ночное врем-
енное случае, здесь отсут-
ствует), но зарегистриро-
ван ~0,1 кэв. Третья за-
вспышка, на последней
является как малоэнергич-
(последние также и во

является в виде отрица-
щегося во времени и не-
стичах. Максимальные
широты относительно
0 кэв [5]. Появление
ней радиации (защита
и рассеянием заряжен-

сказывалось в появле-
нении увеличивающихся при-
ок достигал $\sim 3 \cdot 10^{-12} a$,
фиолетового излучения
и показали, что такое
одной конструкции [4]
с более интенсивным
или как величину, так
того на спутнике. По-
электронов с коллектора
далось в [6]. Как вид-
но компенсируют друг
и в цепи коллектора.
е периодически повтор-
яющегося хода пилообраз-
ных витков каждые 20 сек. [1].
ки не появлялись, они
плазмы (наводки по-
вспышек и их длитель-
ющих условий, ориен-
тире, направления маг-
нитных полей, а длительность

вспышек минимальна на малых высотах, в области повышенной концен-
трации плазмы. На высотах, больших ~1000 км, наводки либо слабы,
либо не наблюдаются. Можно также отметить, что вспышки тем короче,
чем они больше, причем их длительность уменьшается также в областях
регистрации интенсивных электронных потоков. Все эти особенности,

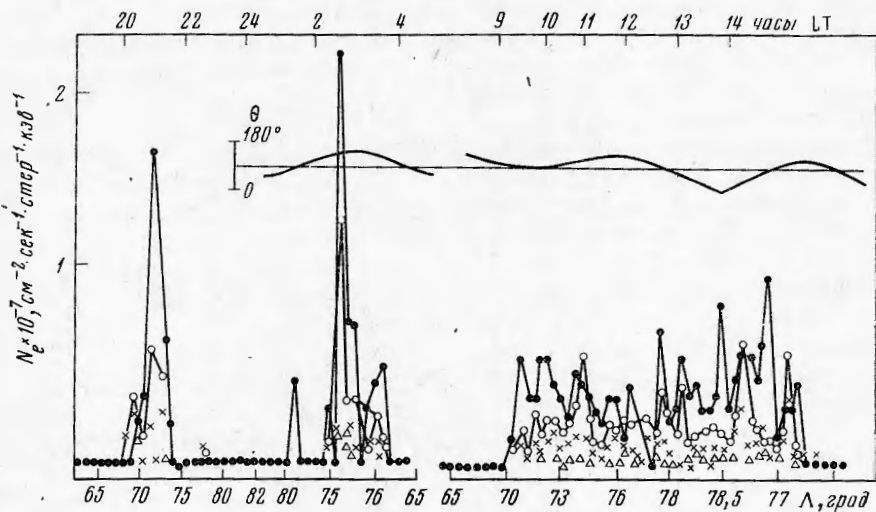


Фиг. 4

в частности заметная, достигающая нескольких секунд длительность ре-
лаксации вспышек, говорят в пользу предположения, что процесс пере-
стройки потенциала спутника связан с заряжением и разрядкой диэлек-
трических поверхностей, поскольку другие процессы должны протекать
существенно быстрее. На возможность подобного механизма указано
в [7].

Некоторые особенности полученных данных. Характер орбиты и ре-
жима запоминания обеспечивали регистрацию электронных потоков мест-
ной зимой в северном полушарии в ночном секторе и местным летом в южном полушарии в приполуденные часы, что обусловило возможность
наблюдений как в ночном, так и в дневном каспе [1-3]. На ряде витков
достигались инвариантные широты до 82°. Имеется также группа низко-
широтных витков с наибольшими $\Lambda \sim 60-65^\circ$. На фиг. 4 и 5 показаны дан-
ные двух характерных витков (низкоширотного - 13 и высокоширотно-

го — 173, θ — питч-угол), различающихся также уровнем геомагнитной активности. Потоки электронов на 13-м витке (18.XI 1970 г.) наблюдались в магнитовозмущенный период после магнитной бури с внезапным началом в 12 ч. 25 м. UT, окончившейся на следующий день. Во время наблюдения электронных потоков (15 ч. 23 м. 40 с.—15 ч. 35 м. UT) $K_p=4$. В указанное время спутник находился в тени Земли на высотах 250—270 км. Участки интенсивных наводок исключены. Максимальное



Фиг. 5

значение $\Lambda=67^\circ$ приходится на местную полночь. Электронные потоки зарегистрированы на существенно меньших Λ ($\Lambda=55\div67^\circ$) по сравнению с обычными ($\Lambda>65^\circ$) для спокойных геомагнитных условий. В приподнявшие часы на этом витке максимальное Λ равно $63,5^\circ$, и потоки электронов не были зарегистрированы.

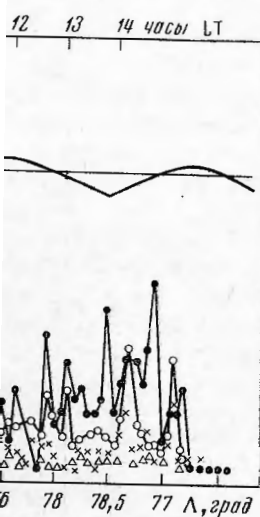
Виток 173 30.XII 1970 г. относится к периоду умеренной возмущенности. Области электронных потоков располагались выше 65° . Наблюдения в полуденные часы относятся к высотам ~ 1700 км. В области высоких широт в ночном секторе электроны обычно не регистрировались (фиг. 5), что, по-видимому, означает выход за пределы авроральной зоны в полярную шапку. Возможно, аналогичный выход в полярную шапку на более низких широтах наблюдается во время магнитной бури (фиг. 4).

Сопоставление показаний двух датчиков показывает, что преобладающим направлением электронных потоков является направление к Земле, и в среднем интенсивность потоков возрастает с уменьшением питч-угла. Для определения потока энергии, вносимого регистрируемыми потоками электронов в ионосферу, необходим поэтому точный учет питч-распределений. По предварительным оценкам при учете сильной вытянутости распределений вдоль магнитного поля по направлению к Земле поток энергии часто во много раз превосходит предельную величину, измеряемую прибором для случая плоского спектра и изотропного распределения по полусфере, — 3 эрг·см⁻²сек⁻¹. Как показано в [2, 3], в областях заметного высыпания электронов наблюдалось заметное повышение электронной температуры и концентрации ионосферной плазмы.

1. Е. И. Грангауз, Г. Л. Гдалевич
2. В. В. Афонин, М. И. Виргин
3. И. И. Логачев, А. П. Ремизов
Х. Весновин. Конфер. по расшифровке спутниковых измерений
4. К. И. Gringauz, G. L. Gdalevitch
5. V. G. Solopovskiy, V. N. Gorozd
1973, 549.
6. Г. Д. Ленин, Л. Г. Ольденкоп, Б. Дов, А. В. Шифрин. ПТЭ, 1973.
7. Ул. I. Goteluc, S. N. Kuznetsov
1973.
8. М. З. Хохлов. Космич. исследований
9. И. М. Кимянов, Я. М. Шварц. «Наука», 1963, 59.

Институт космических исследований
АН ССР

уровнем геомагнитной 18.XI 1970 г.) наблюдалной бури с внезапным ющий день. Во время 40 с.- 15 ч. 35 м. UT) тени Земли на высотах лючены. Максимальное



Электронные потоки ($-55 \div -67^\circ$) по сравнению их условий. В пришолу- $63,5^\circ$, и потоки электро-

умеренной возмущен- выше 65° . Наблюдения в. В области высоких истировались (фиг. 5), центральной зоны в поляр- рную шапку на более бури (фиг. 4).

пает, что преимущественно направление к Земле с уменьшением пинч- регистрируемыми по- ту точный учет пинч- учите сильной вытя- направлению к Земле лельную величину, из- изотропного распреде- в [2, 3], в областях ление повышение элек- газмы.

ЛИТЕРАТУРА

1. К. И. Грингауз, Г. Л. Гдалевич. Геомагнит и аэрономия, 1974, 14, 937.
2. В. В. Афонин, М. И. Виргин, Г. Л. Гдалевич, Б. Н. Горожанкин, К. И. Грингауз, Ю. И. Логачев, А. П. Ремизов, В. Н. Столповский, М. З. Хохлов, С. М. Шеронова. X Всесоюзн. конфер. по распространению радиоволн. «Наука», 1972, 436.
3. K. I. Gringauz, G. L. Gdalevith, M. Z. Khokhlov, A. P. Remizov, Yu. I. Logachev, V. G. Stolpovsky, B. N. Gorozhankin, V. V. Afonin, S. M. Sheronova. Space Res., XIII, 1973, 549.
4. Э. Л. Лейн, Л. Г. Ольдекоп, Б. В. Поленов, А. П. Ремизов, Б. И. Хазанов, М. З. Хохлов, А. В. Шифрин. ПТЭ, 1971, № 6, 44.
5. Yu. I. Gozeluc, S. N. Kuznetsov, Yu. I. Logachev, V. G. Stolpovsky. Space Res., XIII, 1973.
6. М. З. Хохлов. Космич. исследования, 1970, 8, 261.
7. И. М. Иминитов, Я. М. Шварц. Сб. «Искусственные спутники Земли», вып. 17. «Наука», 1963, 59.

Институт космических исследований
АН СССР

Статья поступила:
17 января 1974 г.